

Beschleunigung geladener Teilchen

- Beschleunigung geladener Teilchen
 1. Longitudinale Teilchenbewegung und Phasenraum

Longitudinale Teilchenbewegung und Phasenraum

- Geladene Teilchen in einem (Kreis-)Beschleuniger
 - Beschleunigt beim wiederholten Durchlaufen eines Hochfrequenz-Resonators (Cavity)
- Teilchen müssen beschleunigendes Feld zur festen *Synchronphase* $\psi_s = \omega t - ks = \text{const.}$ erreichen (Resonator-Kreisfrequenz ω)
- *Synchronitätsbedingung* $\dot{\psi}_s = \omega - k\beta c = 0$ (Teilchengeschwindigkeit $ds/dt = \beta c$)
- $\omega_1 = k_1\beta c$ erfüllt Synchronitätsbedingung (erste harmonische)
- ebenso $\omega_h = h\omega_1$ und $k_h = hk_1$ mit ganzzahliger *harmonischer Zahl* h

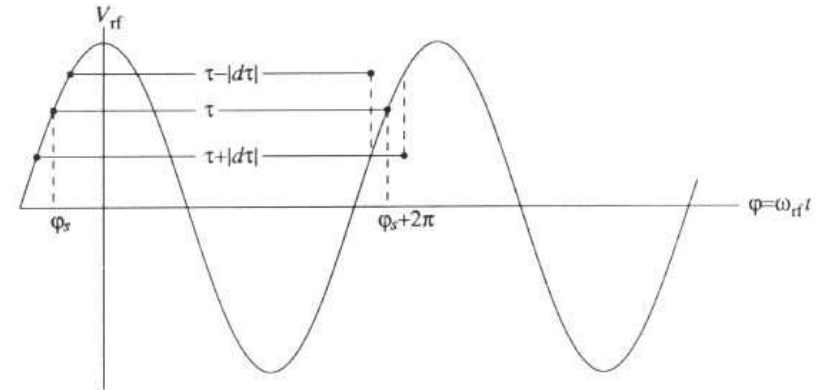


Figure. 9.7 A graphical demonstration of the phase-stability principle in a linac. The effective transition energy is always infinite, since $\eta_{tr} = 1/\gamma^2 > 0$.

Allgemeiner:

- Viele Teilchen mit ggf. unterschiedlichen Energien → Dispersion → Wellenzahl k nicht für alle Teilchen gleich

→ $\Delta\dot{\psi} = -\Delta(k\beta c) = -ck\Delta\beta - \beta c \frac{\partial k}{\partial p} \frac{\partial p}{\partial t} \Delta t$ (#) $\Delta\psi \equiv \psi - \psi_s, k = k_h = h \frac{2\pi}{L_0}$, Abstand L_0 zw. Resonatoren, bzw. $k \hat{=} h \cdot \omega_r / \beta c$ mit Umlauffreq. ω_r im Kreisbeschleuniger

◇ $\left. \frac{\partial k}{\partial p} \right|_{s_0} = \left. \frac{\partial k}{\partial L} \frac{\partial L}{\partial p} \right|_{s_0} = - \left. \frac{k_h}{L_0} \frac{\partial L}{\partial p} \right|_{s_0} = - \frac{k_h}{p_0} \alpha_c$ und "Momentum compaction"-Faktor $\alpha_c \equiv \frac{\Delta L / L_0}{\Delta p / p_0}$

(Einschub von Folie 5.20)

Weglänge und “Momentum compaction”:

In linearer Betrachtung der transversalen Strahldynamik wirkt sich Dispersion $D(s)$ auf die Weglänge L eines Teilchens (z.B. durch einen Ablenktdipol, $\kappa = 1/\rho$) aus:

$$\text{(vgl. Folie 4.16)} \quad d\sigma \approx (1 + \kappa_0 u) ds \quad \rightarrow \quad L = \int (1 + \kappa x) ds.$$

Dabei ist $x = D(s)\delta$ die horizontale Abweichung von der Sollbahn bei relativer Impulsabweichung $\delta = \Delta p/p$.

Die Abweichung ΔL von der Soll-Weglänge $L_0 = \int ds$ ist
$$\Delta L = \delta \cdot \int \frac{D(s)}{\rho(s)} ds$$

und wird beschrieben durch den “momentum compaction”-Faktor:

$$\alpha_c \equiv \frac{\Delta L/L_0}{\Delta p/p} = \frac{\Delta L/L_0}{\delta} \quad \rightarrow \quad \alpha_c = \frac{1}{L_0} \int_0^{L_0} \frac{D(s)}{\rho(s)} ds = \left\langle \frac{D(s)}{\rho(s)} \right\rangle$$

NB: “momentum compaction”-Faktor α_c nimmt nur in Ablenkabschnitten zu, d.h. $\rho \neq 0 \rightarrow$ Linearbeschleuniger: $\alpha_c = 0!$

Die Flugzeit eines Teilchens der Geschwindigkeit v für die Strecke L ist: $\tau = L/v \rightarrow \frac{\Delta\tau}{\tau} = \frac{\Delta L}{L} - \frac{\Delta v}{v}$

Mit $\Delta L/L = \alpha_c \delta$ und $p = \gamma m v$
 $\rightarrow dv/v = 1/\gamma^2 dp/p$ folgt (NB: $\gamma = 1/\sqrt{1 - v^2/c^2}$):
$$\frac{\Delta\tau}{\tau} = - \left(\frac{1}{\gamma^2} - \alpha_c \right) \frac{dp}{p} \equiv -\eta_c \frac{dp}{p},$$

mit “Momentum compaction”: $\eta_c = \gamma^{-2} - \alpha_c \rightarrow$ Kreisbeschleuniger: geänderte Umlauffreq. $\omega_r = \frac{2\pi}{\tau_r}$:

und Übergangsenergie bei $\eta_c = 0$:
$$\gamma_t = \frac{1}{\sqrt{\alpha_c}}$$

$$\frac{d\omega_r}{\omega_r} = -\frac{d\tau_r}{\tau_r} = \eta_c \frac{dp}{p}$$

(engl. transition energy)

Longitudinale Bewegungs-Differentialgleichung

Aus $\dot{\Delta\psi}$ (s. Folie 8.2) folgt

mit $(\partial p / \partial t) \Delta t = \Delta p$ und $mc\gamma^3 \Delta\beta = \Delta p$

$$\dot{\Delta\psi} = -\beta c k_h (\gamma^{-2} - \alpha_c) \frac{\Delta p c}{p c} = -\beta c k_h \eta_c \frac{\Delta p c}{p c}$$

NB: γ^{-2} beschreibt die Energieabhängigkeit der Flugzeit zwischen Beschleunigungsstrukturen; auch in Linearbeschleunigern

Differentiation von $\dot{\psi}$ liefert die longitudinale Bewegungs-DGL im Potential der Hochfrequenzfelder:

$$\ddot{\Delta\psi} + \frac{\beta c k_h \eta_c}{p_0 c} \frac{\partial}{\partial t} \Delta p c = 0$$

wobei β, k_h, η_c langsam variieren, daher als konstant betrachtet werden können.

(Langsame $\hat{=}$ adiabatische Änderung externer Parameter \rightarrow Ehrenfest-Theorem erlaubt Bestimmung der Wirkung auf Strahl)

Energiegewinne/-verluste sind z.B. bei einem Umlauf:

$$(\Delta E)_{\text{rev}} = e \cdot U(\psi) - W(E) = e U_0 \sin \psi - W(E)$$

wobei $U_0 \sin \psi$ die Beschleunigungsspannung bei Phase ψ und $W(E)$ Strahlungsverluste durch Synchrotronstrahlung (s. Abschnitt 9) bezeichnen.

Nach einem Umlauf ist $\frac{\partial}{\partial t} \Delta p c = \beta \frac{\partial}{\partial t} \Delta E = \beta (\Delta E)_{\text{rev}} / T_0$ mit $p c = \beta E$, Umlaufzeit T_0

und die longitudinale Bewegungs-DGL um $\Delta\psi = \psi - \psi_s$ lautet:

$$\frac{d^2 \Delta\psi}{dt^2} + \frac{\beta c k_h \eta_c}{E_0} \frac{d}{dt} \Delta E = 0 \xrightarrow{\text{Umlauf}} \frac{d^2 \Delta\psi}{dt^2} + \frac{\beta c k_h \eta_c}{T_0 E_0} \cdot \left[e U_0 \sin(\psi_s + \Delta\psi) - W(E) \right] = 0 \quad (\#)$$

Lösungen der longitudinalen Bewegungs-DGL mit kleiner Amplitude

Im Falle kleiner Oszillationen kann ΔE (s. Folie 8.4) in einer Taylorreihe (mit $\sin \psi \approx \psi$) entwickelt werden

$$\frac{d}{dt} \Delta E = \frac{\Delta E}{T_0} \approx \frac{1}{T_0} \left\{ eU(\psi_s) + e \left. \frac{dU}{d\psi} \right|_{\psi_s} \cdot \Delta\psi - W(E) - \left. \frac{dW}{dE} \right|_{E_0} \cdot \Delta E \right\},$$

wobei $\Delta E/E_0 = -\Delta\psi/\beta c k_h \eta_c$ gilt (vgl. Folie 8.4).

Eingesetzt in die longitudinale Bewegungs-DGL folgt mit der Gleichgewichtsbedingung $eU(\psi_s) = W(E)$:

$$\frac{d^2 \Delta\psi}{dt^2} + 2 \cdot \underbrace{\left(\frac{1}{2T_0} \frac{dW(E_0)}{dE} \right)}_{\equiv \alpha_S} \cdot \frac{d\Delta\psi}{dt} + \underbrace{\left(\frac{\beta c k_h \eta_c}{T_0 E_0} \cdot eU_0 \cos \psi_s \right)}_{\equiv \Omega_S^2} \cdot \Delta\psi = 0$$

$$\Downarrow$$

$$\Delta\ddot{\psi} + 2\alpha_S \Delta\dot{\psi} + \Omega_S^2 \Delta\psi = 0$$

wobei α_S eine Dämpfung (z.B. durch Synchrotronstrahlung) beschreibt und Ω_S die *Synchrotron-Frequenz* ist.

- Teilchen führen eine *longitudinale Oszillation* mit Frequenz Ω_S um Sollphase aus.
- Diese Schwingung wird gedämpft ($\alpha_S > 0$) oder verstärkt ($\alpha_S < 0$).

Synchrotron-Oszillationen kleiner Amplitude

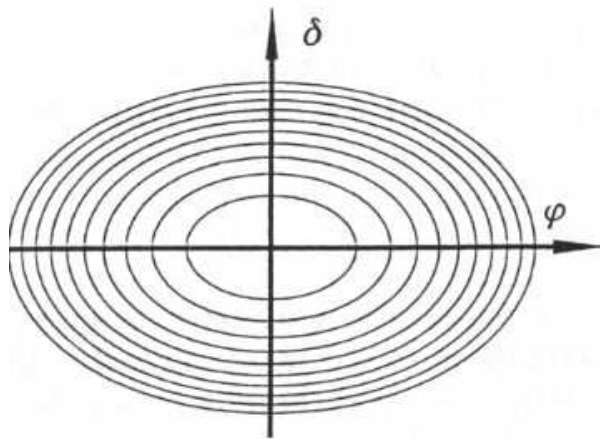


Fig. 8.3. Synchrotron oscillations in phase space for stable motion $\Omega^2 > 0$ and small amplitudes $\hat{\varphi} \ll 1$

Ohne Dämpfung gilt:
 (mit $\varphi \equiv \Delta\psi$, $k_h = 2\pi h/L_0 = h\omega_r/\beta c$, $\omega_r = 2\pi/T_0$)

$$\ddot{\varphi} + \Omega_S^2 \varphi = 0$$

mit $\Omega_S^2 = \omega_r^2 \frac{h\eta_c e U_0 \cos \psi_s}{2\pi \beta^2 E_0}$.

→ Synchrotron-Tune

$$Q_S \equiv \frac{\Omega_S}{\omega_r}$$

(NB: i.A. $Q_S \ll Q_{x,y}$)

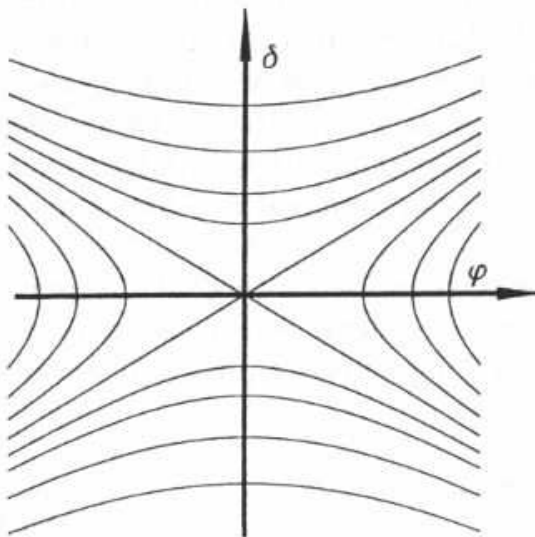


Fig. 8.4. Synchrotron oscillation in phase space for unstable motion $\Omega^2 < 0$

- Schwingung um Sollphase ψ_s :

- ▷ in Phasenabweichung:

(Startphase χ_i für Teilchen i)

$$\varphi \equiv \Delta\psi = \hat{\varphi} \cos(\Omega_S t + \chi_i)$$

- ▷ und in Impulsabweichung:

(s. Folie 8.4 mit $\beta c k_h = h\omega_r$)

$$\delta = \frac{\Delta p c}{p_0 c} = \frac{-\dot{\varphi}}{h\omega_r \eta_c} \propto \sin(\Omega_S t + \chi_i)$$

→ Stabile Synchrotron-Oszill. f. $\Omega_S^2 > 0$:
 Ellipsen (Fig. 8.3)

→ Instabile Bewegung für $\Omega_S^2 < 0$:
 Hyperbeln (Fig. 8.4)

NB: $\Omega_S^2 \propto \eta_c \cos \psi_s \geq 0$, $\eta_c = \gamma^{-2} - \alpha_c$

→ Übergangsenergie $\gamma_t = \frac{1}{\sqrt{\alpha_c}}$, vgl. 5.20

- Stabile Oszill.: $\eta_c \cos \psi_s > 0$

- ▷ $0 < \psi_s < \frac{\pi}{2}$ für $\gamma < \gamma_t$

- ▷ $\frac{\pi}{2} < \psi_s < \pi$ für $\gamma > \gamma_t$

⇒ Phasensprung bei $\gamma = \gamma_t$!

Synchrotron-Oszillationen großer Amplitude

Im Falle großer Oszillationsamplituden gilt die Näherung $\sin \psi \approx \psi$ in $\Delta E = eU_0 \sin \psi$ nicht mehr.

Die longitudinale Bewegungs-DGL lautet dann:

$$\ddot{\varphi} + \frac{\Omega_S^2}{\cos \psi_s} [\sin(\psi_s + \varphi) - \sin \psi_s] = 0$$

(ohne Dämpfungsterm, mit obiger Definition von Ω_S)

Entspricht der Hamilton-Funktion \mathcal{H} :

$$\mathcal{H} = \underbrace{\frac{1}{2} \dot{\varphi}^2}_{\text{kinetische Energie}} + \underbrace{\left\{ -\frac{\Omega_S^2}{\cos \psi_s} [\cos(\psi_s + \varphi) - \cos \psi_s + \varphi \sin \psi_s] \right\}}_{\text{potentielle Energie } V}$$

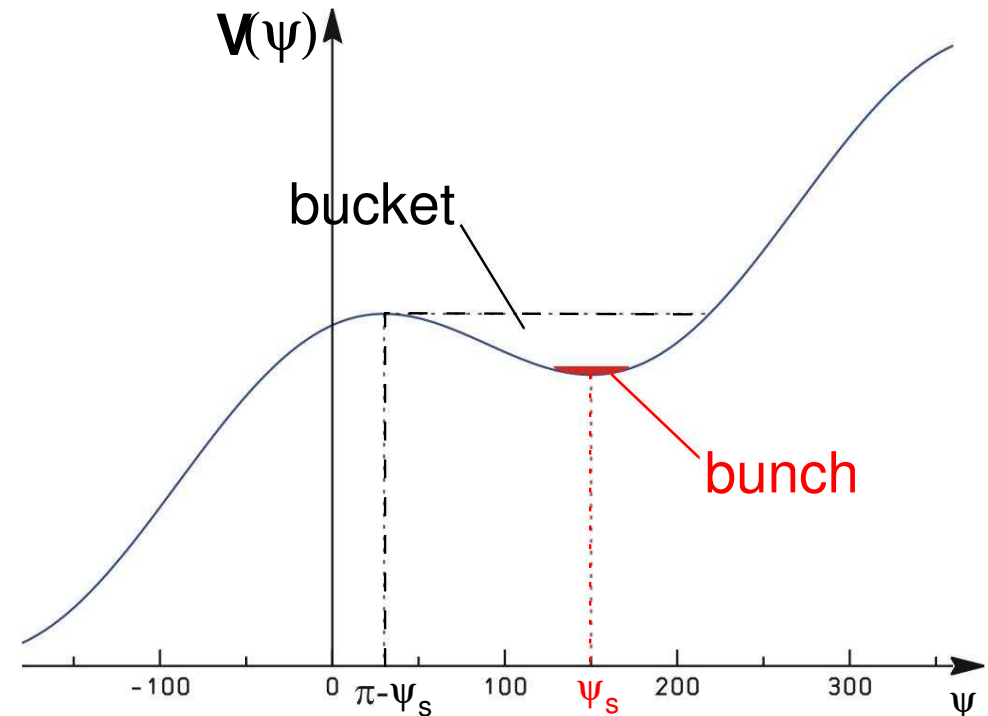
mit

potentielle Energie V

Beiträge zur potentiellen Energie $V(\psi)$:

$\propto \varphi = \psi - \psi_s$ und $\propto \cos(\psi)$

- Oszillationen nur für Teilchen in Potentialsenke
- maximale Auslenkung bei stabilen Oszillationen:
 $\partial V(\psi) / \partial \psi = 0 \rightarrow \psi^{\max} = \pi - \psi_s$
- die zugehörige Kurve im Phasenraum, die *Separatrix*, trennt stabile und instabile Bereich
- maximaler Bereich stabiler Oszillationen heisst *bucket* oder *RF-bucket* (engl. für Eimer)
- Teilchen im Bucket bilden Teilchen-Bunch



Separatizes

Die Hamilton-Funktion der Teilchenbewegung $\hat{=}$ harmonischem Pendel. \Rightarrow Struktur der Trajektorien im $\dot{\psi}$ - ψ -Phasenraum für $\psi_s = \pi$: (NB: $\dot{\psi} \propto \Delta p/p \equiv \delta$)

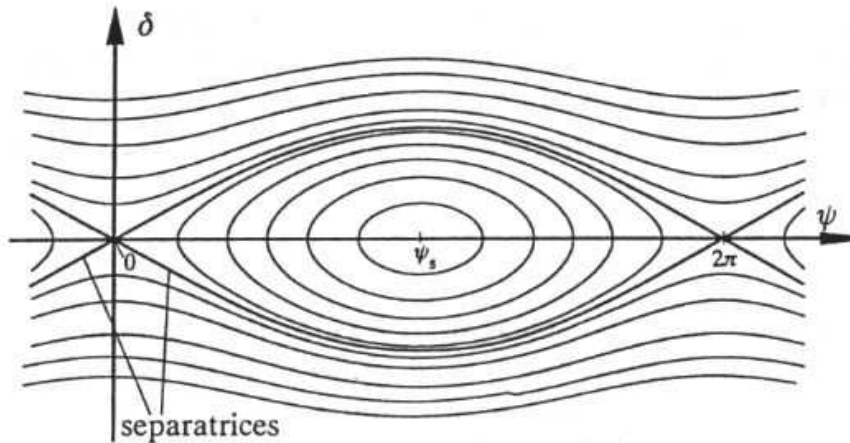


Fig. 8.5. Phase space diagrams for a synchronous phase $\psi_s = \pi$

- $\psi_s = \pi$: $U(\psi) \propto \sin \psi_s = 0 \rightarrow$ keine Beschleunigung.
- $\psi_s < \pi$: geänderte Trajektorien (Fig. 8.7: $\eta_c < 0, \gamma > \gamma_t$).
- Insbesondere: kleinere stabile Bereiche für kleinere ψ_s (\Leftrightarrow wachsende Beschleunigung $\Delta E = eU_0 \sin(\psi_s)$).
- Außerhalb Stabilitätsbereiche instabile Trajektorien: kontinuierl. Energieverlust/-gewinn, abhängig von $\eta_c \geq 0$.

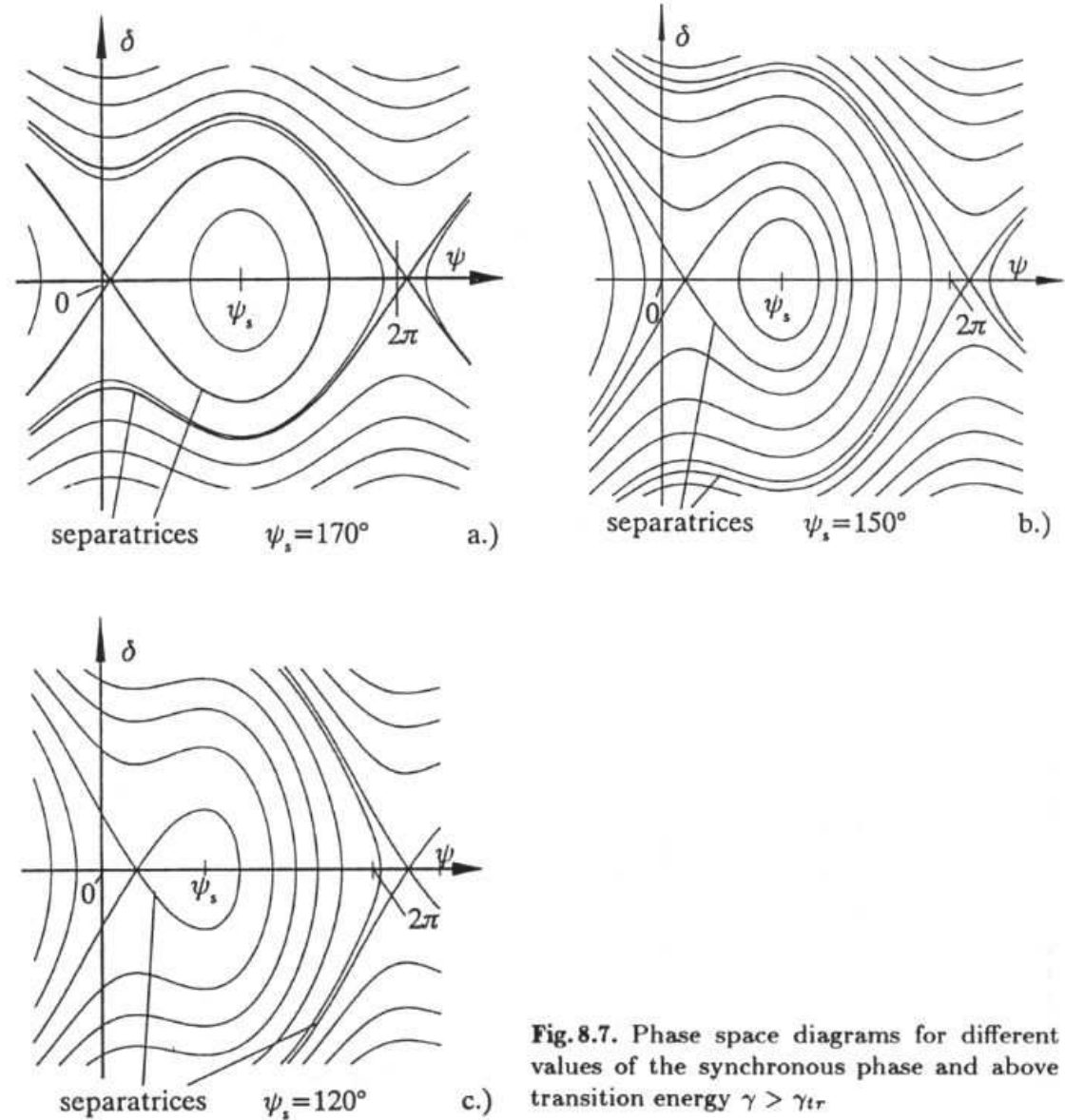


Fig. 8.7. Phase space diagrams for different values of the synchronous phase and above transition energy $\gamma > \gamma_{tr}$

Separatrix (fortgesetzt)

Die Bestimmungsgleichung der Separatrix folgt aus $\mathcal{H}(\psi) = \mathcal{H}(\psi_1^{\max})$ (vgl. Folie 8.7 und mit $\varphi = \psi - \psi_s$):

$$\frac{1}{2} \dot{\varphi}^2 - \frac{\Omega_S^2}{\cos \psi_s} [\cos \psi + (\psi - \psi_s) \sin \psi_s] = -\frac{\Omega_S^2}{\cos \psi_s} [\cos(\pi - \psi_s) + (\pi - 2\psi_s) \sin \psi_s] \quad (\#\#)$$

An beiden Punkte maximaler Auslenkung ist $\dot{\varphi} = \dot{\psi} = 0$ (da pot. Energie $V = \max. \rightarrow$ kinet. Energie $= 0$):

- Punkt 1: $\psi_1^{\max} = \pi - \psi_s$ (vgl. Folie 8.7)

- Punkt 2 folgt aus $(\#\#)$:

$$\cos(\psi_2^{\max}) + \psi_2^{\max} \sin \psi_s = \cos(\pi - \psi_s) + (\pi - \psi_s) \sin \psi_s$$

- maximales $\dot{\psi}$ für $\ddot{\psi} = 0$, d.h. bei $\psi = \psi_s$

$$(\#\#) \rightarrow \dot{\psi}_{\max}^2 = 2\Omega_S^2 [2 - (\pi - 2\psi_s) \cdot \tan \psi_s]$$

\rightarrow RF-Akzeptanz (aus $\frac{\Delta E}{E_0} = \frac{-\dot{\psi}}{\beta c k_h \eta_c}$, $k_h = h \frac{2\pi}{\beta c T_0}$):

$$\left(\frac{\Delta E}{E_0}\right)_{\max} = \pm \sqrt{\frac{eU_0}{\pi h \eta_c E_0} [2 \cos \psi_s - (\pi - 2\psi_s) \sin \psi_s]}$$

pos. $[\dots]$: $0 < \psi_s < \frac{\pi}{2}$, $6.064 < \psi_s$, aber auch $\eta_c \leq 0$

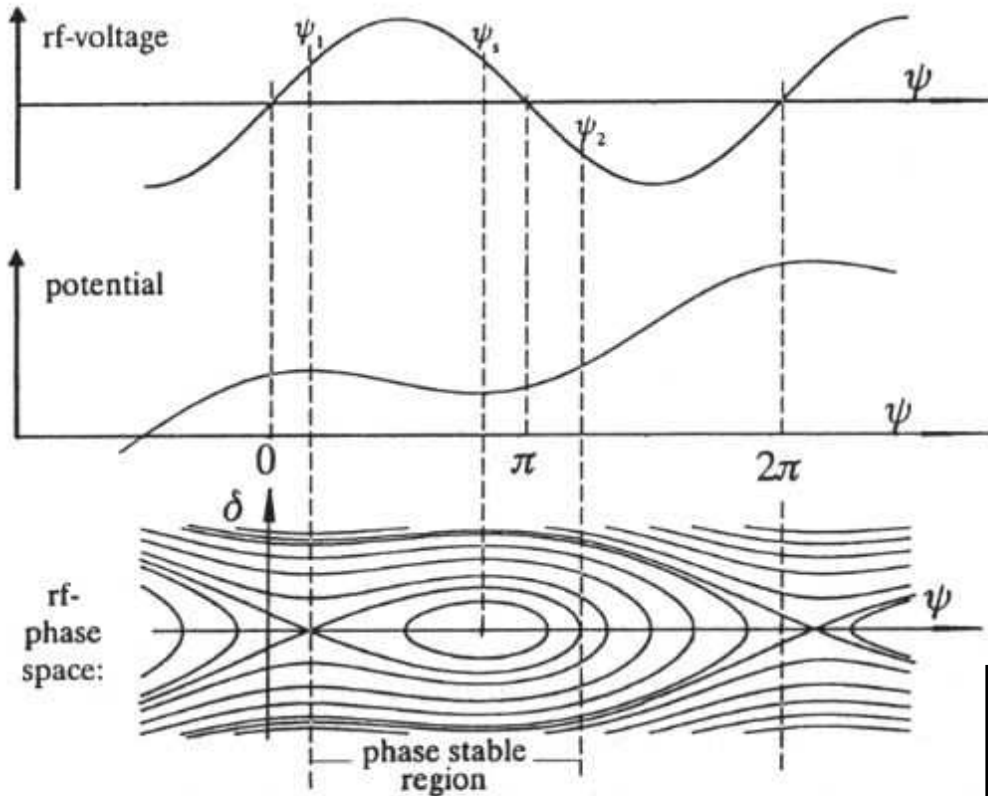


Fig.8.9. Phase space focusing for moving rf bucket displaying the phase relationship of accelerating field, potential, and rf bucket

NB: $\left(\frac{\Delta E}{E_0}\right)_{\max} \propto \frac{1}{\sqrt{\omega_{RF}}}$ $\left(\frac{\Delta E}{E_0}\right)_{\max} \overset{\gamma \gg 1}{\propto} \frac{1}{\sqrt{\alpha_c}}$ $\left(\frac{\Delta E}{E_0}\right)_{\max} \propto \sqrt{\frac{eU_0 \sin \psi_s}{E_0}}$ Mit $\omega_{RF} \equiv \omega_h$ und $\omega_h = k_h \beta c$

Separatrix (fortgesetzt)

- Phasen ψ_s und $\pi - \psi_s$ ergeben den gewünschten Energiegewinn
(da $\Delta E \propto \sin(\psi_s)$)

- nur eine Phase gibt stabile Phasenoszillationen

→ stabile Phase aus Forderung: $\Omega_S^2 > 0 \Leftrightarrow \eta_c \cos \psi_s > 0$

▷ Orientierung des RF-Buckets hängt von Wahl für η_c , γ_t und Beschleunigung/Abbremsung ab

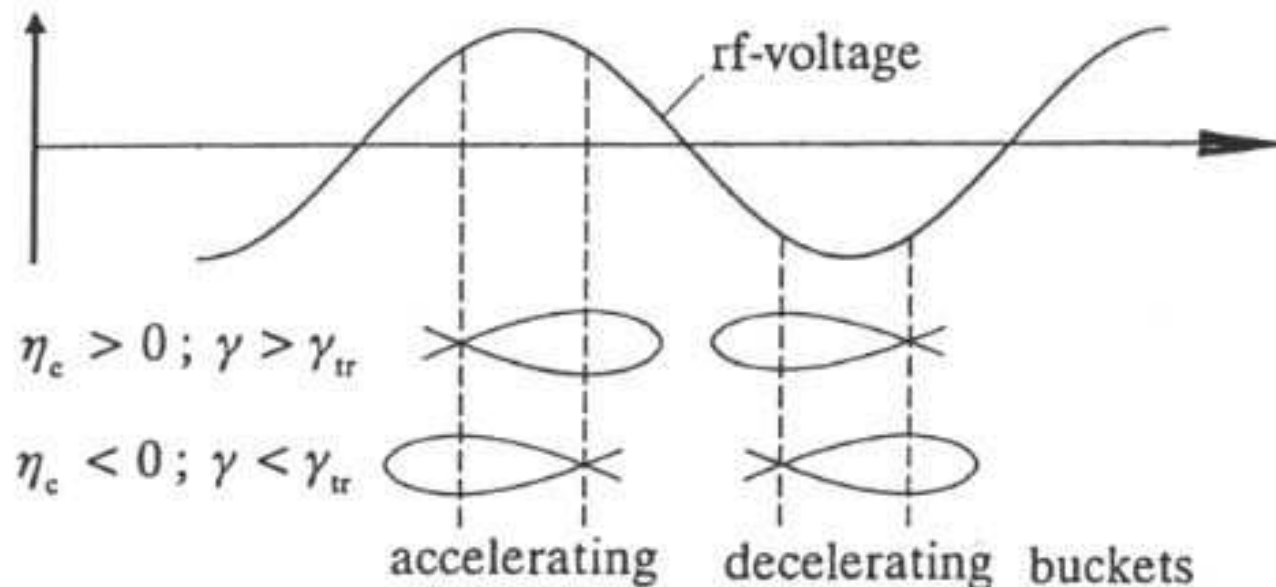


Fig. 8.10. Relationship between rf phase and orientation of moving rf buckets for accelerating as well as decelerating fields